République Algérienne Démocratique et Populaire Ministère de l'Enseignement Supérieur et de la Recherche Scientifique

UNIVERSITÉ MOHAMED KHIDER, BISKRA FACULTÉ des SCIENCES EXACTES DÉPARTEMENT DE MATHÉMATIQUES



Mémoire présenté en vue de l'obtention du Diplôme :

MASTER en Mathématiques

Option: statistique

Par

Ben Hamza Oulaia

Titre:

Application des Copules dans la Modélisation de la Dépendance en Finance et Assurance

Membres du Comité d'Examen :

Dr. Abdelli Jihane UMKB Encadreur

Dr. Zouaoui Nour Elhouda UMKB Président

Dr. Dhiabi Samra UMKB Examinatrice

Soutenu Publiquement le 02/06/2025

Dédicace

Á celui qui m'a appris la lettre unique.

Á celui qui aplanté dans mon coeur l'amour de la connaissance et m'a donné à boire à la source de la compassion.

 \acute{A} ceux qui ont travaille dur, veillé tard et fait des sacrifices, a mes chers parents : Mon pére Abdelhamid et ma mére Dalila.

Á ceux qui m'ont soutenu à toute les étapes de la vie :

Mes fréres : Mohammed Bachir et Abderaouffe

Mes soeurs : Assia, Wafa, Ritedje et Marya.

Á ceux qui n'ont jamais hésité à m'en courager et à toujours être à mes côtés, à mon cousin : Abdelbaki.

Á mes amis qui ont partagé avec moi le chemin de la connaissance et de la fatigue :Widad, Samah, Nedjwa, Amira, Amel, Assma et Bariza.

REMERCIEMENTS

Avant tout, je rends grâce à Dieu, source de toute connaissance et de toute réussite.

Je souhaite exprimer ma profonde gratitude à mon directeur de mémoire, Dr

Abdelli Jihane, pour son encadrement précieux, sa disponibilité constante et ses

Mes remerciements les plus sincéres vont également aux Dr.**Djebrane Yahia** et Dr.**Benatia Fateh**, pour leur soutien, leurs encouragements et leurs remarques pertinentes qui m'ont guidé tout au long de ce parcours.

conseils avisés qui ont grandement contribué à la réalisation de ce travail.

Je n'oublie pas de remercier l'ensembles du corps enseignant de "**Département de Mathématiques**" pour la qualité de leur ensignement et leur accompagnement

tout au long des mes années d'études.

Enfin, j'adresse ma reconnaissance la plus chaleureuse à ma famille et à mes proches pour leur soutien moral et leur confiance indéfectible, sans lesquels cette avanture n'aurait pas été possible

Table des matières

Remerciements	ii
Table des matières	iii
Table des figures	v
Liste des tables	vi
Introduction	1
1 Théorie des copules	3
1.1 Copules bivariées	3
1.2 Théoreme de Sklar	5
1.3 Propriétés d'une copule	8
1.3.1 Propriétés Fondamentales	8
1.3.2 Propriétés analytiques	9
1.4 Densité d'une Copule	10
1.4.1 Relation avec la densité jointe	11
1.5 Famille de copules	12
1.5.1 Copule Elliptique	12

1.5.2	Copule Archimédiennes	14
1.5.3	Copules des valeurs extrêmes bivariées (VEB)	16
2 Estimation	n et ajustement des copules	18
2.1 Métho	odes d'estimation des copules	18
2.1.1	Méthode du Maximum de Vraisemblance (MV)	18
2.1.2	Méthode des Moments	26
2.2 Critèr	es d'ajustement et sélection de copule	30
2.2.1	Goodness-of-fit (GoF)	30
2.2.2	Critères de sélection	32
2.2.3	Validation Graphique des Copules	33
3 Application	on des copules en finance et assurance	35
3.1 Applie	cation	35
Conclusion		39
Bibliographic		39
Annexe B : A	Abréviations et Notations	42

Table des figures

1.1	Densité c_{ϱ} de trois copules Gaussiennes selon ϱ .(Indépendance rho =	
	$0, D\'{e}p \ moyenne \ rho = 0.5, D\'{e}p \ Forte \ rho = 0.9).$	13
1.2	Densité $c_{\rho,\nu}$ de trois copules de Student Selon ϱ avec $v=5.(Indépendance)$	
	$rho = 0$, $D\acute{e}p$ moyenne $rho = 0.5$, $D\acute{e}p$ Forte $rho = 0.9$)	14
1.3	Densité $c_{\theta}(u, v)$ de trois copules Archimédiennes de paramétres θ .	
	(Copule de Clayton, Copule de Gumbel, Copule de Frank)	16
2.1	Graphiques des générateurs d'Archiméde répertoriés dans le taleau (2.1)	26
3.1	Nuages de points de 500 pseudo-observations tirées des rendements de	
	quatre indices boursiers Européens	36

Liste des tableaux

1.1 Copule des valeurs extrême les plus utilisées
2.1 Famille d'Archiméde avec générateur un paramétre couramment uti-
lisés et transformées inverses de Laplace-Stieltejes
3.1 Estimations de la matrice tau de Kendall à partir des rendements de
quatre indices boursiers Européens
3.2 Valeur p du test bootstrap d'adéquation des copules de Gumbel, Clay-
ton, gaussienne et t de dimension 2, avec 'method' = "Sn", 'estim.method' = "itau" 38
3.3 Pramétre ajusté de la copula t correspondant au tau de Kendall avec
v=1
3.4 Mesure de risque du CCTE pour t=0.9 avec une copule t

Introduction

a gestion des risques en finance et en assurance repose sur l'étude des relations entre différentes variables. Les méthodes classiques, qui utilisent la corrélation linéaire, ne suffisent pas toujours à bien représenter ces relations, surtout en période de crise où les événements extrêmes deviennent plus importants.

Les copules, introduites par Sklar (1959), permettent de modéliser la structure de dépendance indépendamment des distributions marginales. Elles offrent ainsi une approche flexible et robuste pour analyser les interactions entre actifs financiers, modéliser la coccurrence des sinistres en assurance et améliorer les mesures de gestion des risques.

Ce mémoire est organisé en trois chapitres afin d'expliquer progressivement l'application des copules en finance et en assurance.

Le premier chapitre est consacré aux bases théoriques des copules. Nous commencerons par définir ce qu'est une copule, puis nous présenterons ses principales propriétés ainsi que les différentes familles existantes. Cela permettra de mieux comprendre comment ces fonctions sont utilisées pour modéliser la dépendance entre plusieurs variables.

Le deuxième chapitre abordera les méthodes permettant d'estimer et d'ajuster les copules aux données issues du domaine financier et assurantiel. Nous verrons comment choisir une copule adaptée à un jeu de données, quelles techniques sont employées pour estimer ses paramètres, et comment évaluer la qualité de l'ajustement.

Enfin, dans ce troisième chapitre est consacré à une application des copules dans le domaine financier. Nous aborderons dans un premier temps les notions élémentaires concernant les risques financiers et leurs mesures unidimensionnelles. Des exemples concrets de calcul de ces mesures seront développés, en référence aux modèles probabilistes les plus utilisés en pratique.

Chapitre 1

Théorie des copules

La théorie des copules est un cadre mathématique permettant de modéliser la dépendance entre des variables aléatoires, indépendamment de leurs distributions marginales. Introduite par Sklar en 1959, elle repose sur la décomposition d'une distribution jointe en ses marges et une fonction de copule décrivant leur liaison. Ce chapitre explore les fondements théoriques des copules, leurs propriétés et leurs familles.

1.1 Copules bivariées

Les copules bivariées permettent de modéliser la dépendance entre deux variables aléatoires (va.) en séparant leur structure de dépendance de leurs distributions marginales.

Définition 1.1.1 (Fonction de répartition) Soit X une va. à valeurs dans \mathbb{R}^2 . La fonction de répartition de X notée F est donnée par :

$$F: \mathbb{R} \to [0,1]$$

$$x \to F(x) = \mathbb{P}(X \le x).$$

Définition 1.1.2 (Fonction de répartition jointe) Soit(X,Y) un vecteur aléa-

toire à valeur dans \mathbb{R}^2 . La loi jointe du copule (X,Y) notée H(x,y):

$$H(x,y) = \mathbb{P}(X \le x, Y \le y). \tag{1.1}$$

Définition 1.1.3 On appelle copule bivariée, toute fonction C définie de $\mathbb{I}^2 \to \mathbb{I}$ avec $\mathbb{I} = [0, 1]$, qui posséde les propriétés suivant :

- 1. $\forall u \in [0,1], C(u,0) = C(0,u) = 0.$
- 2. $\forall u, v \in [0, 1], C(u, 1) = u, et C(1, v) = v.$
- 3. $\forall u_1, u_2, v_1, v_2 \in [0, 1] \text{ si } u_1 \leq u_2, v_1 \leq v_2 \text{ alors}$

$$C(u_2, v_2) - C(u_2, v_1) - C(u_1, v_2) + C(u_1, v_1) \ge 0.$$

Exemple 1.1.1 La fonction $M(u, v) = \min(u, v), \forall u, v \in [0, 1]$ définit une copule;

1. $\forall u \in [0, 1],$

$$C(u,0) = C(0,u) = \min(u,0) = 0.$$

 $2. \ \forall u, v \in [0, 1],$

$$C(u, 1) = \min(u, 1) = u \ et \ C(1, v) = \min(1, v) = v.$$

- $\beta. \ \forall u_1, u_2, v_1, v_2 \in [0, 1]:$
 - $Si \ u_1 \le u_2 \le v_1 \le v_2$:

$$\min(u_2, v_2) - \min(u_2, v_1) - \min(u_1, v_2) + \min(u_1, v_1)$$
$$= u_2 - u_2 - u_1 + u_1 = 0.$$

$$\begin{aligned} &-Si\ v_1 \leq v_2 \leq u_1 \leq u_2: \\ &\min(u_2,v_2) - \min(u_2,v_1) - \min(u_1,v_1) + \min(u_1,v_1) \\ &= v_2 - v_1 - v_2 + v_1 = 0. \end{aligned}$$

$$-Si\ u_1 \leq v_1 \leq u_2 \leq v_2: \\ &\min(u_2,v_2) - \min(u_2,v_1) - \min(u_1,v_1) + \min(u_1,v_1) \\ &= u_2 - v_1 - u_1 + u_1 \\ &= u_2 - v_1 \geq 0. \end{aligned}$$

Par conséquent M est une copule.

De la même façon, on peut montrer que les fonctions : $\forall u, v \in [0, 1], W(u, v) = \max(u, v)$, et $\Pi(u, v) = uv$, définissent aussi des copules.

1.2 Théoreme de Sklar

Ce théorème est essentiel dans la théorie des copules. C'est Sklar qui a formulé cela en 1959, où il expose la relation déterminée par la copule C, dérivée de la distribution jointe H, cette relation lie les fonction de distribution marginales univariées F et G à la distribution bivariée globale H.

Théorème 1.2.1 (Sklar, 1959) Soit H une fonction de répartition jointe de deux variables aléatoires X et Y avec fonctions de répartition marginales F_X et F_Y . Alors, il existe une copule C telle que :

$$H(x,y) = C(F_X(x), F_Y(y)), \quad \forall (x,y) \in \mathbb{R}^2.$$
(1.2)

Si F_X et F_Y sont continues, alors la copule C est unique. Dans le cas général, C est déterminée de manière unique sur l'image de $F_X \times F_Y$.

Preuve. Existence : Soit $U = F_X(X)$ et $V = F_Y(Y)$. Par construction, U et V suivent une loi uniforme sur [0,1]. On définit la fonction de copule C comme :

$$C(u,v) = P(U \le u, V \le v). \tag{1.3}$$

Par transformation inverse, on retrouve $H(x,y) = C(F_X(x), F_Y(y))$.

Unicité : Si F_X et F_Y sont continues, leurs fonctions quantiles existent, ce qui garantit l'unicité de C. Si elles ne sont pas continues, C peut être non unique sur certains points. \blacksquare

Définition 1.2.1 Soit F une fonction de répartition univarié. Le quantile de F (l'inverse généralisé) est une fonction, notée F^{-1} de domaine de définition \mathbf{I} , telle que

$$F^{-1}(t) = \inf \{ x \in \mathbb{R} : F(x) \ge t \}.$$

A l'aide de la définition (1.2.1), nous pouvons montrer la théoreme (1.2.1).

Preuve.

$$H(x,y) = \mathbb{P}(X \le x, Y \le y)$$

$$= \mathbb{P}(F_X^{-1}(U_1) \le x, F_Y^{-1}(U_2) \le y)$$

$$= \mathbb{P}(U_1 \le F_X(x), U_2 \le F_Y(y))$$

$$= C(F_X(x), F_Y(y)).$$

A partir de théoreme de Sklar on peut extraine une définition de copules dépende de notion de variable aléatoire comme suit, soient F_X, F_Y les fonctions de répartition marginales de deux va. X et Y respectivement.

Définition 1.2.2 Une copule C bivariée définie sur \mathbb{I}^2 est une fonction de répartition jointe et dont les marginales F_X et F_Y sont uniformes sur \mathbb{I} .

Corollaire 1.2.1 (Inverse de théoreme de Sklar) Soit H une fonction de répartition 2-dimentionnelle de fonction de répartition marginales F_X et F_Y , alors la copule C associée à H est donnée par :

$$C(u, v) = H(F_X^{-1}(u), F_Y^{-1}(v)), \forall (u, v) \in \mathbb{I}^2.$$

Exemple 1.2.1 Soit (X,Y) un couple de va. dont la fonction jointe H est définie pour $(x,y) \in [0,\infty[\times[0,\infty[,\ et\ \theta>0$

$$H(x,y) = \exp\{-\left[(x+y) - (x^{-\theta} + y^{-\theta})^{-\frac{1}{\theta}}\right]\},$$

et admet pour marginales

$$F_X(x) = \exp(-x), \ et \ F_Y(y) = \exp(-y),$$

nous avons

$$F_X^{-1}(u) = -\ln u, \ et \ F_Y^{-1}(v) = -\ln v, \ \forall (u, v) \in \mathbb{I}^2$$

d'aprés le Corollary (1.2.1) la copule associée est exprimée comme suite : $\forall \theta \geq 1$

$$C(u, v) = uv \exp\{-\left[(-\ln u^{-\theta}) + (-\ln v^{-\theta})\right]^{-\frac{1}{\theta}}\}.$$

C'est la copule de Glambos.

1.3 Propriétés d'une copule

On considére X et Y comme deux va. continues ayant une fonction de répartition conjointe F et des fonctions marginales F_X et F_Y , avec C étant la copule associée. Dans ce qui suit, nous allons exposer quelques caractéristiques relatives aux copules. Alors La **copule** $C: [0,1]^2 \to [0,1]$ satisfaite les propriétés suivantes.

1.3.1 Propriétés Fondamentales

1. Bornes de Fréchet-Hoeffding : Pour toute copule C, on a :

$$W(u,v) = \max(0, u+v-1) \le C(u,v) \le \min(u,v) = M(u,v). \tag{1.4}$$

- La borne supérieure $M=C^+(u,v)=\min(u,v)$ correspond à la dépendance parfaite.
- La borne inférieure $W=C^-(u,v)=\max(u+v-1,0)$ correspond à l'indépendance maximale
- 2. Marginales : Pour tout $u, v \in [0, 1]$:

$$C(u,1) = u$$
 et $C(1,v) = v$. (1.5)

3. Monotonie : C est une fonction croissante, c'est-à-dire que pour tout $u_1 \le u_2$ et $v_1 \le v_2$:

$$C(u_2, v_2) - C(u_1, v_2) - C(u_2, v_1) + C(u_1, v_1) \ge 0.$$
 (1.6)

4. Invariance par transformation croissante : Si X et Y sont des variables aléatoires et h_1, h_2 sont des fonctions croissantes, alors la copule de $(h_1(X), h_2(Y))$ est la même que celle de (X, Y).

5. Copule indépendante : Si X et Y sont indépendantes, alors leur copule est donnée par :

$$C(u,v) = uv. (1.7)$$

Les bornes de Fréchet-Hoeffding sont utilisées pour caractériser les limites extrêmes de la dépendance entre variables aléatoires dans la théorie des copules. Elles permettent d'évaluer si une copule donnée respecte les contraintes fondamentales de cohérence et d'identifier les cas de dépendance parfaite ou d'indépendance.

1.3.2 Propriétés analytiques

1. Continuité : Soit C une copule, $\forall u_1, u_2, v_1, v_2 \in \mathbb{I}$ avec $u_1 \leq u_2$ et $v_1 \leq v_2$, on a

$$|C(u_2, v_2) - C(u_1, v_1)| \le |u_2 - u_1| + |v_2 - v_1|.$$

2. Ordre : Soit C_1 et C_2 deux copules. On dit que $C_1 \preceq C_2$ si

$$C_1(u,v) \le C_2(u,v).$$

3. Symétrie : Une copule C est dit symétrique si

$$C(u, v) = C(v, u).$$

4. Convexité et concavité : On dit que C est conexe pour tout $\alpha, a, b, c, d \in \mathbb{I}$

$$C(\alpha a + (1 - \alpha)c, \alpha b + (1 - \alpha)d) < \alpha C(a, b) + (1 - \alpha)C(c, d).$$

et on dit que C est concava pour tout $\alpha, a, b, c, d \in \mathbb{I}$

$$C(\alpha a + (1 - \alpha)c, \alpha b + (1 - \alpha)d) > \alpha C(a, b) + (1 - \alpha)C(c, d).$$

5. Harmonique : C est harmonique dans \mathbf{I}^2 si :

$$\nabla^2 C(u,v) = \frac{\partial^2 C(u,v)}{\partial u^2} + \frac{\partial^2 C(u,v)}{\partial v^2} = 0.$$

6. Homogénéité : C est homogéne de degré k si pour tout $u, v \in \mathbb{I}, \exists k \in \mathbb{R}$:

$$C(\lambda u, \lambda v) = \lambda^k C(u, v).$$

- 7. **Différentiabilité**: Les dérivées partielles $\frac{\partial C(u,v)}{\partial u}$ et $\frac{\partial C(u,v)}{\partial v}$ existent et sont croissantes sur \mathbb{I} .
- 8. Théorème d'invariance : On dit que la copule $C_{X,Y}$ est invariante par transformations strictement croissantes de deux va.'s continues X et Y de marginales F_X et F_Y si

$$C_{\alpha(X),\beta(Y)} = C_{X,Y},$$

où α et β sont deux fonctions strictement croissantes.

1.4 Densité d'une Copule

La densité de copule est un outil clé en statistique et en finance pour modéliser les dépendances entre variables aléatoires. Son utilisation permet de construire des modèles flexibles tout en gardant les distributions marginales indépendantes du choix de la copule.

Soit C(u,v) une copule définissant la fonction de répartition conjointe de deux variables aléatoires (X,Y). Si C est suffisamment régulière (c'est-à-dire absolument continue), alors elle admet une densité, appelée **densité de copule**, définie comme suit :

$$c(u,v) = \frac{\partial^2 C(u,v)}{\partial u \partial v}, \quad \text{pour } (u,v) \in (0,1)^2.$$
 (1.8)

1.4.1 Relation avec la densité jointe

Si X et Y possèdent des densités marginales $f_X(x)$ et $f_Y(y)$, alors la densité jointe $f_{X,Y}(x,y)$ s'exprime en fonction de la densité de copule comme :

$$f_{X,Y}(x,y) = c(F_X(x), F_Y(y))f_X(x)f_Y(y).$$
(1.9)

Cette relation est fondamentale en modélisation statistique, car elle permet de séparer la structure de dépendance (décrite par c(u, v)) des distributions marginales.

Exemple 1.4.1 On a la copule produit :

$$C(u, v) = \Pi(u, v) = uv$$

 $\implies c(u, v) = \frac{\partial^2 \Pi(u, v)}{\partial u \partial v} = 1.$

Cette copule caractérise l'indépandance entre va. car la densité de copule dans ce cas s'écrit par :

$$f(x,y) = f_1(x)f_2(y).$$

Exemple 1.4.2 (Copule Gaussienne) La copule gaussienne est définie à partir d'une fonction de répartition jointe normale avec une matrice de corrélation R. Sa densité est donnée par :

$$c(u,v) = \frac{1}{\sqrt{1-\rho^2}} \exp\left(\frac{2\rho\Phi^{-1}(u)\Phi^{-1}(v) - (\Phi^{-1}(u))^2 - (\Phi^{-1}(v))^2}{2(1-\rho^2)}\right), \quad (1.10)$$

où Φ^{-1} désigne la fonction quantile de la loi normale standard et ρ est le coefficient de corrélation.

1.5 Famille de copules

1.5.1 Copule Elliptique

Les copules elliptiques sont définies à partir des lois elliptiques. On a deux classes qui sont les plus utilisées dans la famille des copules elliptiques; la copule Gaussienne et la copule de Student.

Définition 1.5.1 On appelle copule elliptique tout copule de la forme suiant :

$$C_{\varrho}(u,v) \colon = \frac{1}{\sqrt{1-\varrho^2}} \int_{-\infty}^{\Phi_{g,1}^{-1}(u)} \int_{-\infty}^{\Phi_{g,2}^{-1}(v)} g\left(\frac{x^2 - 2\varrho xy + y^2}{\sqrt{1-\varrho^2}}\right) dx dy = H_{\varrho}\left(\Phi_{g,1}^{-1}(u), \Phi_{g,2}^{-1}(v)\right),$$

- $-\varrho$: coefficient de corrélation qui appartient à l'intervalle [-1,1].
- $-\Phi_{q,1}^{-1}(u), \Phi_{q,2}^{-1}(v)$: fct quantiles des va X et Y respectivement
- H_{ϱ} :distribution jointe des va X et Y.

Copule Gaussienne (Normale)

La copule Gaussienne est définie par la forme suivant :

$$C_{\varrho}(u,v) := \frac{1}{2\pi\sqrt{1-\varrho^2}} \int_{-\infty}^{\Phi^{-1}(u)} \int_{-\infty}^{\Phi^{-1}(v)} \exp\left(\frac{x^2 - 2\varrho xy + y^2}{2\sqrt{1-\varrho^2}}\right) dx dy$$
$$= \Phi_{\varrho}\left(\Phi^{-1}(u), \Phi^{-1}(v)\right)$$

où Φ_{ϱ} est la f
d jointe de la loi normale et Φ^{-1} la fonction quantile de la loi normale standar $N\left(0,1\right)$.

On retrouve les cas particuliers suivant comme cas limites :

$$C_{-1} = W, C_0 = \Pi, C_1 = M.$$

La figure (1.1) montre le graphique de la densité de trois copules Gaussienne qui

différent selon la valeur du ϱ .

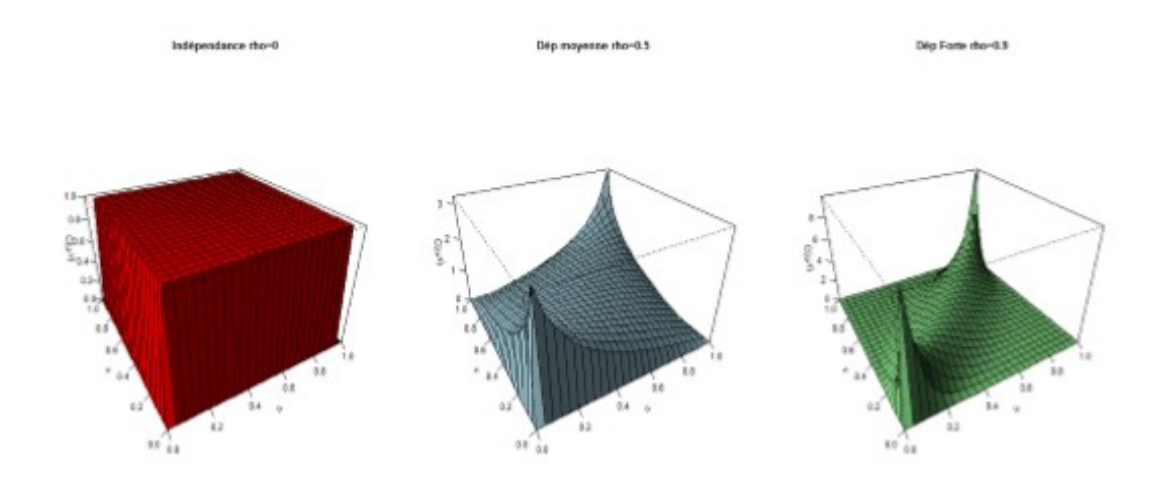


FIG. 1.1 – Densité c_{ϱ} de trois copules Gaussiennes selon ϱ .(Indépendance rho = 0, Dép moyenne rho = 0.5, Dép Forte rho = 0.9).

Copule de Student

La copule Student est définie par la forme suivant :

$$C_{\varrho,v}(u,v) := \frac{1}{2\pi\sqrt{1-\varrho^2}} \int_{-\infty}^{T_v^{-1}(u)} \int_{-\infty}^{T_v^{-1}(v)} 1 + \left(\frac{x^2 - 2\varrho xy + y^2}{v(1-\varrho^2)}\right)^{-(\frac{v}{2}+1)} dx dy$$
$$= T_{\varrho,v} \left(T_v^{-1}(u), T_v^{-1}(v)\right),$$

οù

- $T_{\varrho,v}$: la fonction de distribution jointe de la loi Student à v degrés de liberté.
- $-\ T_v^{-1}$: la fonction inverse de la loi Studet standar.

La figure (1.2) montre le graphique de la densité de trois copules de Student de degrés de liberté v=5 qui differt par leur valeur de ρ .

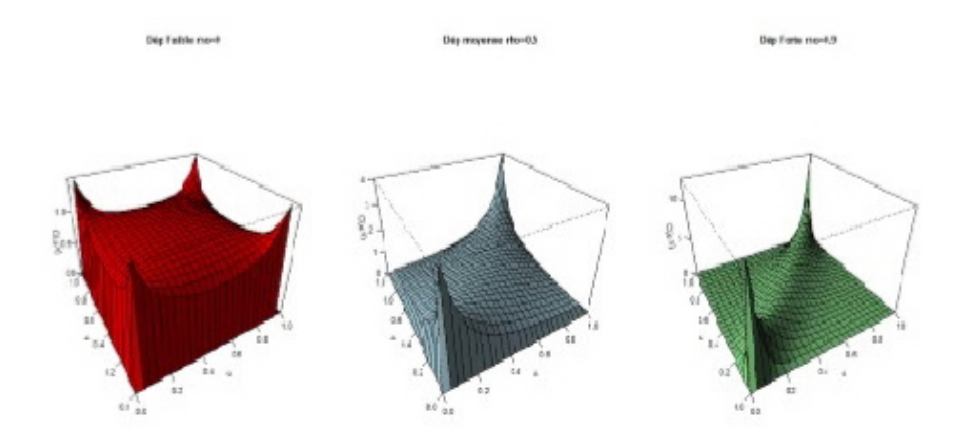


FIG. 1.2 – Densité $c_{\varrho,\nu}$ de trois copules de Student Selon ϱ avec v=5.(Indépendance rho=0, Dép moyenne rho=0.5, Dép Forte rho=0.9).

1.5.2 Copule Archimédiennes

Définition 1.5.2 On appelle copule Archimédiennes toute copule de la forme

$$C(u,v) = \varphi^{-1} (\varphi(u) + \varphi(v)),$$

où $\varphi : \mathbb{I} \to [\mathbf{0}, +\infty[$ une fonction continue strictement décroissante telle que $\varphi(1) = 0$. La fonction φ est appelée générateur son inverse généralisée noté $\varphi^{[-1]}$ est

$$\varphi^{-1}(t) = \begin{cases} \varphi^{-1}(t) & si \quad 0 \le t \le \varphi(0) \\ 0 & si \quad \varphi(0) \le t \le \infty \end{cases},$$

 $si \varphi(0) = \infty$, $alors \varphi^{[-1]} = \varphi^{-1}$.

La copule de Gumbel est définie comme suit :

$$\forall \theta \ge 0 : Cu, v) = \exp\{-[(-\ln u^t)^{\theta} + (\ln v^t)^{\theta}]^{\frac{1}{\theta}}\}.$$

Son générateur est $\varphi_{\theta}(t) = (-\ln t)^{\theta}$.

Copule de Clayton

La copule de Clayton est définie comme suit $\forall \theta \in [-1, 0] \cup [0, +\infty[$

$$C_{\theta}(u,v) = (u^{-\theta} + v^{-\theta} - 1)^{-\frac{1}{\theta}}.$$

de générateur est

$$\varphi_{\theta}(t) = \frac{1}{\theta}(t^{-\theta} - 1).$$

Copule de Frank

La copule de Frank est définie comme suit :

$$\forall \theta \in \mathbb{R} : C_{\theta}(u, v) = -\frac{1}{\theta} \ln \left(1 + \frac{(e^{-\theta u} - 1)(e^{-\theta v} - 1)}{e^{-\theta} - 1} \right).$$

Son générateur est

$$\varphi_{\theta}(t) = -\ln\left(\frac{e^{-\theta t} - 1}{e^{-\theta} - 1}\right).$$

Le copule Joe est définie comme suit : $\forall \theta \geq 1$

$$C_{\theta}(u,v) = 1 - \left[(1-u)^{\theta} + (1-v)^{\theta} - (1-u)^{\theta} (1-v)^{\theta} \right]^{\frac{1}{\theta}}.$$

Son générateur est $\varphi_{\theta}(t) = -\ln\left(1 - (1 - t)^{\theta}\right)$.

Remarque 1.5.1 Une autre caractérisation des copules Archimédiennes peut se faire à l'aide de la fonction de Kendall,

$$t \in \mathbf{I}; K(t) = \mathbb{P}(C(U, V) \le t) = t - \frac{\varphi(t)}{\varphi'(t)}.$$

La figure (1.3) représente les densités de trois copules Archimédiennes de paramétres θ .

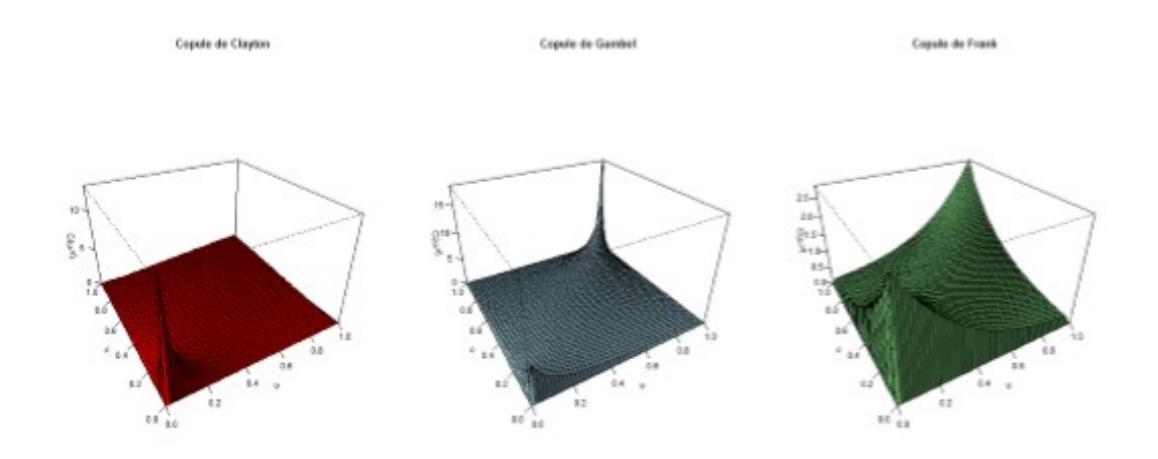


FIG. 1.3 – Densité $c_{\theta}(u, v)$ de trois copules Archimédiennes de paramétres θ . (Copule de Clayton, Copule de Gumbel, Copule de Frank).

1.5.3 Copules des valeurs extrêmes bivariées (VEB)

Définition 1.5.3 On appelle Copules des valeurs extrêmes bivariées (VEB) tout copule de la forme suiant :

$$\forall n > 0 : C(u^n, v^n) = C^n(u, v)$$

Exemple 1.5.1 La copule de Gumbel est une copule des VEB car

$$C(u^n, v^n) = \exp\left\{-\left[(-\ln u^n)^{\theta} + (-\ln v^n)^{\theta}\right]^{\frac{1}{\theta}}\right\}$$

$$= \exp\left\{-\left[n^{\theta}((-\ln u)^{\theta} + (-\ln v)^{\theta})\right]^{\frac{1}{\theta}}\right\}$$

$$= \exp\left\{-n\left[(-\ln u)^{\theta} + (-\ln v)^{\theta}\right]^{\frac{1}{\theta}}\right\}$$

$$= \left(\exp\left\{\left[(-\ln u)^{\theta} + (-\ln v)^{\theta}\right]^{\frac{1}{\theta}}\right\}\right)^n$$

$$= C^n(u, v).$$

Le tableau ci-dessous présente quelques familles des copules des valeurs extrême :

copule	θ	C(u,v).
П	/	uv.
Gumbel A	$[1,+\infty[$	$\exp\left\{-\left(\tilde{u}^{\theta}+\tilde{v}^{\theta}\right)^{\frac{1}{\theta}}\right\}.$
Gumbel B	I	$uv\exp\left\{\theta\left(\frac{\overline{u}\overline{v}}{\overline{u}+\overline{v}}\right)\right\}.$
Galambos	$[0,+\infty[$	$uv \exp\left\{\left(\tilde{u}^{-\theta} + \tilde{v}^{-\theta}\right)^{-\frac{1}{\theta}}\right\}.$
Logistique de Joe	$[0,+\infty[^2$	$= \exp \left\{ -\left(\tilde{u}^{\theta_1} + \tilde{v}^{\theta_1} - V\left(\tilde{u}, \tilde{v}; \theta \right) \right)^{\frac{1}{\theta_1}} \right\}.$
Marshall-Olkin	I	$u^{1-\theta_1}v^{1-\theta_2}\min\left(u^{\theta_1},v^{\theta_2}\right).$

Tab. 1.1 – Copule des valeurs extrême les plus utilisées

οù

$$-\tilde{u} = -\ln u$$
.et $\tilde{v} = -\ln v$.

$$\theta=(heta_1, heta_2)$$
 .

$$- V(\tilde{u}, \tilde{v}; \theta) = \left(\tilde{u}^{\theta_1 \theta_2} + \tilde{v}^{-\theta_1 \theta_2}\right)^{\frac{1}{\theta_2}}.$$

Chapitre 2

Estimation et ajustement des copules

La modélisation de la dépendance entre variables nécessite une estimation précise des copules. Cette section présente les principales méthodes d'estimation et les critères d'ajustement permettant de choisir le modèle le plus adapté aux données financières et assurantielles.

2.1 Méthodes d'estimation des copules

2.1.1 Méthode du Maximum de Vraisemblance (MV)

L'estimation du maximum de vraisemblance est une technique direct d'optimisation visant à déterminer conjointement les paramétres marginaux et de copule. Cette approche de maximisation directe est souvent utilisée pour déterminer l'estimateur de copule. L'estimateur du maximum de vraisemblance est aussi le plus efficace pour le paramétre de dépandance de la copule.

Définition 2.1.1 Soit deux vecteurs de variables aléatoires X et Y. Les fonctions

de distribution marginales sont $F_X(x; \alpha_1)$ et $G_Y(y; \alpha_2)$ respectivement avec α_1 et α_2 est un vecteur de paramétres. Nous supposons que les fonctions de densité marginales existent et seront notées $f_X(x; \alpha_1)$ et $g_Y(y; \alpha_2)$. Nous supposons aussi que la fonction de copule C appartient une famille paramétrique, et sera notée $C(.,.,\beta)$ où β est un vecteur de paramétre. Le vecteur de paramétre à estimer est $\theta = (\alpha_1, \alpha_2, \beta)$. La distribution conjointe peut être écrite comme suit :

$$C(u, v; \theta) = C_{\theta} \left[F_X(x; \alpha_1), G_Y(y; \alpha_2); \beta \right] = H(x, y; \theta).$$

La fonction de densité conjointe est :

$$h(x, y; \theta) = \frac{\partial^2}{\partial x \partial y} H(x, y; \theta)$$

$$= \frac{\partial^2 C(F_X(x; \alpha_1), G_Y(y; \alpha_2); \beta)}{\partial F_X(x; \alpha_1) \partial G_Y(y; \alpha_2)} \frac{\partial F_X(x; \alpha_1)}{\partial x} \frac{\partial G_Y(y; \alpha_2)}{\partial y},$$

alors

$$h(x, y; \theta) = c(F_X(x; \alpha_1), G_Y(y; \alpha_2); \beta) f_X(x; \alpha_1) g_Y(y; \alpha_2), \tag{2.1}$$

οù

$$c(F_X(x;\alpha_1), G_Y(y;\alpha_2);\beta) = c(u,v;\theta) = \frac{\partial^2}{\partial u \partial v} C(u,v;\theta).$$

Avec c est la densité associée à C.

Les étapes impliquées dans l'estimation de MV sont décrites comme suit :

Étape 1 : Trouvez la fonction de vraisemblances de l'équation 2.1 avec les variable aléatoires $\{(x_i)\}_{i=1}^n$ et $\{(y_i)\}_{i=1}^n$ s'écrivent comme suit :

$$L(\theta) = \prod_{i=1}^{n} c[F_X(x_i, \alpha_1), G_Y(y_i, \alpha_2); \beta] f_X(x_i, \alpha_1) g_Y(y_i, \alpha_2).$$
 (2.2)

Étape 2 : Trouvez la fonction log-vraisemblance de l'équation 2.2. La forme log-vraisemblance est :

$$l(\theta) = \log L(\theta) = \sum_{i=1}^{n} \log c[F_X(x_i; \alpha_1), G_Y(y_i; \alpha_2); \beta] + [\sum_{i=1}^{n} \log f_X(x_i; \alpha_1) + \sum_{i=1}^{n} \log g_Y(y_i; \alpha_2)].$$
(2.3)

Étape 3 : Maximiser la fonction de log-vraisemblance de la copule compléte (Eq 2.3) avec une expression comme ci-dessous :

$$\hat{\theta}^{MV} = \arg\max_{\theta \in \Theta} l(\theta),$$

où Θ est l'éspace des paramétres. $\hat{\theta}^{MV}$ est l'éstimateur du maximum vraisemblance si :

$$l(\hat{\theta}^{MV}) \ge l(\theta), \forall \theta \in \Theta.$$

On peut montrer que $\hat{\theta}^{MV}$ a la propriété de normalité asymptotique et on a :

$$\sqrt{n}(\hat{\theta}^{MV} - \theta_0) \to \mathcal{N}(0, I^{-1}(\theta_0))$$

avec $I(\theta_0)$ la matrice d'information de Fisher.

Maximum de vraisemblance pour les copules Archimédiennes

Définition 2.1.2 Une copule Archimédiennes C admet une densité c si et seulement si $\psi^{(d-1)}$ existe et est absolument continue sur $(0, \infty)$. Dans ce cas, C est donné par

$$C(u) = \psi^{(d)}(t(u)) \prod_{j=1}^{d} - (\psi^{-1})(u_j), \qquad (2.4)$$

οù

$$t(u) = \sum_{j=1}^{d} \psi^{-1}(u_j),$$

Notons que pour calculer la log-densité, il est pratique d'écrire c comme

$$c(u) = (-1)\psi^{(d)}(t(u))\prod_{j=1}^{d} - (\psi^{-1})'(u_j).$$

L'éxpression de la vraisemblance pour la copule Archimédienne de générateur ψ est donnée par :

$$L(\theta, u_1, ..., u_n) = \prod_{i=1}^{d} c_{\theta}(u_i) \text{ et } l(\theta, u_1, ..., u_n) = \sum_{i=1}^{n} l(\theta; u_i),$$

οù

$$l(\theta; u_i) = \log c_{\theta}(u_i) = \log((-1)^d \psi_{\theta}^{(d)}(t_{\theta}(u))) + \sum_{i=1}^d \log(-(\psi^{-1})'(u_i)).$$

Ici l'indice θ de t(u) est utilisé pour souligner la dépandance de t(u) sur θ . L'estimateur du maximum de vraisemblance $\hat{\theta}_n = \hat{\theta}_n(u_1, ..., u_n)$ peut donc être trouvé en résolvant le problème d'optimisation . Π

$$\hat{\theta}_n = \arg \sup_{\theta \in \Theta} (\theta, u_1, ..., u_n).$$

Exemple 2.1.1 (Copule Gaussienne multivariée) Soit R une matrice symétrique définie positive avec diag(R) = (1, ..., 1), R la distribution normale multivariée standardisée avec matrice de corrélation R. A . La copule gaussienne multivariée R est donné comme suit :

$$C(u_1, u_2, ..., u_n; R) = \Phi_R(\Phi^{-1}(u_1), \Phi^{-1}(u_2), ..., \Phi^{-1}(u_n)),$$

avec la densité:

$$\frac{1}{(2\pi)^{\frac{n}{\pi}} \mid R \mid^{\frac{1}{2}}} \exp\left(-\frac{1}{2}X'R^{-1}X\right) = c(\Phi(x_1), ..., \Phi(x_n)) \prod_{j=1}^{n} \left(\frac{1}{\sqrt{2\pi}} \exp\left(-\frac{1}{2}x_j^2\right)\right).$$

Nous conclusons que :

$$c\left(\Phi\left(x_{1}\right),...,\Phi\left(x_{n}\right)\right) = \frac{\left(\frac{1}{(2\pi)^{\frac{n}{2}}|R|^{\frac{1}{2}}}\right)\exp\left(-\frac{1}{2}X'R^{-1}X\right)}{\prod_{j=1}^{n}\left(\frac{1}{\sqrt{2\pi}}\exp\left(-\frac{1}{2}x_{j}^{2}\right)\right)}.$$

Soit $u_{j} = \Phi(x_{j}), x_{j} = \Phi^{-1}(u_{j})$ et on peut reécrire comme suit :

$$c(u_1, ..., u_n) = \frac{1}{\mid R \mid^{\frac{1}{2}}} \exp\left(-\frac{1}{2}\varsigma'(R^{-1} - I)\varsigma\right).$$

où $\varsigma = (\Phi^{-1}(u_1), ..., \Phi^{-1}(u_n))'$. L'expression de la fonction log-vraisemblance est :

$$l(\theta) = -\frac{T}{2}\log |R| - \frac{1}{2}\sum_{t=1}^{T} \varsigma_t' (R^{-1} - I) \varsigma_t.$$

 θ est l'ensemble de tout les paramétres R et $\varsigma_{t}=\left(\Phi^{-1}\left(u_{1t}\right),...,\Phi^{-1}\left(u_{nt}\right)\right)'$.

L'estimateur de maximum de vraisemblance de R est donné par : $\hat{R} = \frac{1}{T} \sum_{t=1}^{T} \varsigma_t' \varsigma_t$.

Estimation par maximum de vraisemblance de quelques copules

Le copule de Gumbel-Barnet

Elle est définie par :

$$C(u, v) = u + v - 1 + (1 - u)(1 - v) \exp(-\theta \log(1 - u) \log(1 - v)), 0 \le \theta \le 1.$$

La fonction de densité:

$$c(u,v) = \exp\left(-\theta\log\left(1-u\right)\log\left(1-v\right)\right) \left[\left(\theta\log\left(1-v\right)-1\right)\left(\theta\log\left(1-u\right)-1\right) - \theta\right].$$

La fonction de vraisemblance :

$$L(u, v; \theta) = \prod_{i=1}^{n} \exp(-\theta \log(1 - u_i) \log(1 - v_i)) ((\theta \log(1 - u_i) - 1) (\theta \log(1 - v_i) - 1) - \theta).$$

La fonction log de vraisemblance :

$$l(u, v; \theta) = -\sum_{i=1}^{n} \theta \log (1 - u_i) \log (1 - v_i) + \sum_{i=1}^{n} \log ((\theta \log (1 - u_i) - 1) (\theta \log (1 - u_i) - 1) - \theta).$$
(2.5)

Etant donné qu'il n'existe pas de méthode analytique pour obtenir le maximum de l'équation (2.5), il est nécessaire d'utiliser des algorithmes numériques pour approximer la solution. 16.

Copule Farlie-Gumbel-Morgenstern

Elle est définie par :

$$C(u,v) = uv + \theta uv (1-u) (1-v), \quad \theta \in [-1,1].$$

La fonction de densité:

$$c(u, v) = (1 + \theta (1 - 2u) (1 - 2v)).$$

La fonction de vraisemblance :

$$L(\theta) = \prod_{i=1}^{n} (1 + \theta (1 - 2u) (1 - 2v)).$$

La fonction log de vraisemblance :

$$l(\theta) = \sum_{i=1}^{n} \log (1 + \theta (1 - 2u) (1 - 2v)).$$

La copule de Clayton

Elle est définie par :

$$C(u,v) = (u^{-\theta} + v^{-\theta} - 1)^{\frac{-1}{\theta}}, \quad \theta \in [-1, +\infty[\setminus \{0\}]].$$

La fonction de densité:

$$c(u,v) = (\theta+1) (uv)^{-\theta-1} (u^{-\theta} + v^{-\theta} - 1)^{-\frac{1}{\theta}-2}$$

La fonction de vraisemblance :

$$L(\theta) = \prod_{i=1}^{n} (\theta + 1) (vu)^{-\theta - 1} (u^{-\theta} + v^{-\theta} - 1)^{-\frac{1}{\theta} - 2}.$$

La fonction log de vraisemblance :

$$l(\theta) = n \log (\theta + 1) - (\theta + 1) \sum_{i=1}^{n} \log (uv) - \left(\frac{1}{\theta} + 2\right) \sum_{i=1}^{n} \left(u^{-\theta} + v^{-\theta} - 1\right)^{-\frac{1}{\theta} - 2}.$$

Copule de Frank

Elle est définie par :

$$C(u,v) = -\frac{1}{\theta} \ln \left(1 + \frac{\left(\exp\left(-\theta u\right) - 1\right) \left(\exp\left(-\theta v\right) - 1\right)}{\left(\exp\left(-\theta\right) - 1\right)} \right).$$

La densité:

$$c(u,v) = \frac{\theta \left(1 - \exp(-\theta)\right) \exp\left(-\theta \left(v + u\right)\right)}{\left[\left(1 - \exp\left(-\theta\right)\right) - \left(\exp\left(-\theta u\right) - 1\right) \left(\exp\left(-\theta v\right) - 1\right)\right]^{2}}.$$

La fonction de vraisemblance :

$$L(\theta) = \prod_{i=1}^{n} \theta \left(1 - \exp(-\theta)\right) \exp(-\theta (u+v))$$
$$\times \left[(1 - \exp(-\theta)) - (\exp(-\theta u) - 1)(\exp(-\theta v) - 1) \right]^{-2}.$$

La fonction log de vraisemblance :

$$l(\theta) = n(\log(\theta) + \log(1 - \exp(-\theta)))$$
$$-\theta \sum_{i=1}^{n} (u + v)$$
$$-2 \sum_{i=1}^{n} \log [1 - \exp(-\theta) - (\exp(-\theta u) - 1)(\exp(-\theta v) - 1)].$$

Estimation du maximum de vraisemblance simulée

Définition 2.1.3 Si les dérivées du générateur d'Archiméde sont inconnues, on peut s'attendre à ce que y soit une approximation de la densité de la copule générée. De cette manière, les dérivées d'ordre supérieur peuvent être remplacées par une seule intégrale, où la transformée de Laplace-Stieltjes de F également connue sous le nom de transformée de Laplace de la distribution, [12] est définie comme :

$$\mathcal{LS}[F] = \int_0^\infty \exp(-xt)dF(x) = \psi(t),$$

 $si \ \psi \in \Psi_{\infty} \ alors,$

$$(-1)^d \psi^{(d)}(t) = \int_0^\infty x^d \exp(-xt) dF(x) = \mathbb{E}\left[V^d \exp(-Vt)\right], \quad t \in [0, +\infty[,$$

où V a une fonction de distribution F. Une approximation de $(-1)^d \psi^{(d)}(t)$ est donc donnée par

$$(-1)^d \psi^{(d)}(t) \approx \frac{1}{m} \sum_{k=1}^m V_k^d \exp(-V_k t), \quad t \in [0, +\infty[,$$

où $V_k \sim F$ et $k \in \{1, ..., m\}$ alors

$$F = \mathcal{LS}^{-1} \left[\psi \right].$$

Comprend le tableau suivant, les transformées inverses de Laplace-Stieltjes F pour les familles a paramétre unique :

Famille	$\Psi(t)$	F
Clayton	$(1-\theta)/(\exp(t)-\theta)$	$\Gamma\left(\frac{1}{\theta},1\right)$
Frank	$\log (1 - (1 - \exp(-\theta)) \exp(-t)) / \theta$	$(1 - \exp(-\theta))^k / k\theta$
Gumbel	$\exp\left(-t^{\frac{1}{ heta}}\right)$	$S\left(\frac{1}{\theta}, 1, \left(\cos\left(\frac{\pi}{2\theta}\right)\right)^{\theta}, 1 \left(\theta = 1\right), 1\right)$
Joe	$1 - (1 - \exp^{-t})^{\frac{1}{\theta}}$	$\left(-1\right)^{k+1} \left(k^{\frac{1}{\theta}}\right)$

Tab. 2.1 – Famille d'Archiméde avec générateur un paramétre couramment utilisés et transformées inverses de Laplace-Stieltejes

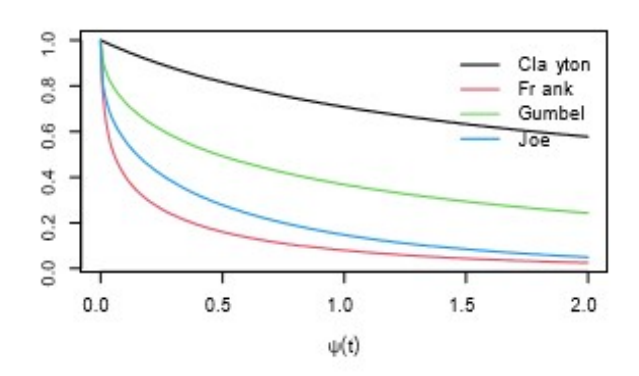


Fig. 2.1 – Graphiques des générateurs d'Archiméde répertoriés dans le taleau (2.1)

2.1.2 Méthode des Moments

Cette méthode est souvent employée pour les évaluation de dépandance et représente des adaptations directes des estimateur par le méthode des moments, trés répandus dans divers domaines de la statistique. On substitue les moments des variables aléatoires par ceux de la copule, tels que le tau de kendall ou le rho de spearman.

Définition 2.1.4 Cette méthode consiste à estimer les paramétres θ des lois marginales et le paramétre α de la copule par la méthode des moments. Résoudre le système à d'équations et d'inconnues

$$\begin{cases}
\overline{X} = f(\theta_1, ..., \theta_d) \\
S_n^2 = g(\theta_1, ..., \theta_d) \\
\mu_{3,n} = h(\theta_1, ..., \theta_d) \\
\vdots
\end{cases}$$

Où d désigne la dimension de θ , f, g et h sont les expressions des moments (ordinaires) d'ordre 1, 2 et 3 en fonction du paramétre θ . Répeter cette étape pour toutes les marginales. \blacksquare

L'estimation des paramétres de copule via la méthode des moments basés sur tau de kendall et rho de spearman est présentée ci-dessous.

Estimateur basé sur le tau de kendall

Pour diverses familles des copules, un lien biunivoque est établi entre τ et θ le tau de kendall .Puisqu'il est possible d'estimer τ de façon cohérent à partir de l'échantillon, une autre approche pour déterminer θ pourrait être fondée sur la technique des moments.

Définition 2.1.5 (Tau de kendall) Soit (X_1, Y_2) et (X_2, Y_2) deux vecteurs aléatoire indépendants et indentiquements distribués de même fonction de répartition jointe H. Le tau de kendall est définie par :

$$\tau = P[(X_1 - X_2)(Y_1 - Y_2) > 0] - P[(X_1 - X_2)(Y_1 - Y_2) < 0].$$

Théorème 2.1.1 Soit (X,Y) un vecteur aléatoire continu de copule C, et C est associée à la fonction de répartition jointe H(x,y) = C(F(x),G(x)), alors

$$\tau = 4 \iint_{\{[0,1]\times[0,1]\}} C(u,v) dC(u,v) - 1.$$
(2.6)

Une estimateur du tau de kendall se construit à partir d'un échantillon $\{(x_1, y_2), ..., (x_T, y_T)\}$ de (X, Y) de la façon suivante :

$$\hat{\tau} = \frac{2}{T(T-1)} \sum_{J=2}^{T} \sum_{i=1}^{j-1} sign\{(x_j - x_i)(y_j - y_i)\}, \qquad (2.7)$$

où

$$sign(z) = \begin{cases} 1 \text{ si } z \ge 0\\ -1 \text{ si } z < 0 \end{cases}.$$

Définition 2.1.6 La relation générale entre le tau de Kendall et le générateur de la copule d'Archiméde peut être exprimée comme suit :

$$\tau = 1 + 4 \int_{0}^{1} \frac{\varphi(u)}{\dot{\varphi}(u)} du.$$

Définition 2.1.7 On a g_{τ} le fonction définie par

$$\tau = g_{\tau}(\theta)$$
,

où τ sont définis en (2.6).

L'estimateur par la méthode des moments $\hat{\theta}$ de θ est définie par :

$$\hat{\theta}^{TK} = g_{\tau}^{-1} \left(\hat{\tau} \right),$$

et $\hat{\tau}$ sont définis en (2.7).

1. Le tau de kendall de la copule de Farlie-Gumbel-Morgenstern est $\tau = \frac{2\theta}{9}$ avec $\theta \in [-1, 1]$. L'estimateur par la méthode des moments est :

$$\hat{\theta} = \frac{9\hat{\tau}}{2}$$

2. Le tau de kendall de la copule de Gumbel est $\tau = 1 - \frac{1}{\theta}$ avec $\theta \in [1, +\infty[$. L'estimateur par la méthode des moments est :

$$\hat{\theta} = \frac{1}{1 - \hat{\tau}}.$$

3. Le tau de kendall de la copule de Clayton est $\tau = \frac{\theta}{\theta+2}$ avec $\theta \in [-1, +\infty[\setminus \{0\}]]$. L'éstimateur par la méthode des moments est :

$$\hat{\theta} = \frac{2\hat{\tau}}{(1-\hat{\tau})}.$$

Estimateur basé sur le rho de Spearman

Il est possible d'élaborer un estimateur fondé sur le moments de θ en utilisant le rho de spearman, sous réserve qu'il y ait une corrélation un-à-un entre le rho de spearman et θ .

Définition 2.1.8 (Rho de Spearman) Soient $(X_1, Y_1), (X_2, Y_2)$ et (X_3, Y_3) trois vecteurs indépendantes des variables aléatoires continues X et Y et ayant la même fonction de répartition jointe H et les mêmes fonctions de répartition marginales F et G. Le rho de Spearman est défini par

$$\rho = 3 \left(P \left[(X_1 - X_2) (Y_1 - Y_3) > 0 \right] - P \left[(X_1 - X_2) (Y_1 - Y_3) < 0 \right] \right).$$

Théorème 2.1.2 Si C désigne la copule des variables X et Y, le rho de Spearman est :

$$\rho = 12 \iint_{\{[0,1]\times[0,1]\}} C(u,v) dC(u,v) - 3.$$
(2.8)

 $Une\ stimateur\ du\ rho\ de\ Spearman\ se\ construit\ \grave{a}\ partir\ d'un\ \acute{e}chantillon\ \{\left(x_{1},y_{1}\right),...,\left(x_{T},y_{T}\right)\}$

de(X,Y) de la façon suivante :

$$\hat{\rho} = \frac{\sum_{i=1}^{T} (R_i - \bar{R}) (S_i - \bar{S})}{\sqrt{\sum_{i=1}^{T} (R_i - \bar{R})} \sqrt{\sum_{i=1}^{T} (S_i - \bar{S})}},$$
(2.9)

où R_i est le rang de x_i , S_i celui de y_i et $\bar{Z} = \frac{1}{T} \sum_{i=1}^T Z_i$.

Définition 2.1.9 on a g_{ρ} la fonction définie par

$$\rho = g_{\rho}(\theta),$$

où ρ est définis en .(2.8)

L'estimateur par la méthode des moments $\hat{\theta}$ de θ est définie par

$$\hat{\theta}^{RS} = g_{\rho}^{-1} \left(\hat{\rho} \right),$$

et $\hat{\rho}$ sont définis en (2.9).

Le rho de spearman de la copule de Farlie-Gumbel-Morgenstern est

$$\rho = \frac{\theta}{3}, \text{ avec } \theta \in [-1, 1].$$

L'estimateur par la méthode des moments est :

$$\hat{\theta} = 3\hat{\rho}$$
.

2.2 Critères d'ajustement et sélection de copule

2.2.1 Goodness-of-fit (GoF)

Ces tests évaluent si une copule donnée s'ajuste bien aux données observées.

Test de Kolmogorov-Smirnov (KS)

Compare la fonction de distribution empirique et théorique.

$$D_n = \sup_{\mathbf{x}} |C_n(\mathbf{x}) - C(\mathbf{x})|.$$

où C_n est la copule empirique (Deheuvels, 1979)

$$C_n(\mathbf{x}) = \frac{1}{n} \sum_{i=1}^n \mathbf{1}_{(\mathbf{X}_i \le \mathbf{x}_i)}$$
(2.10)

et C la copule théorique et $\mathbf{x} := (x_1, x_2, ..., x_n)$.

Test de Cramér-von Mises (CvM)

Mesure l'écart quadratique entre les copules empirique et théorique.

$$W_n^2 = \frac{1}{n} \oint_{-\infty}^{\infty} (C_n(\mathbf{x}) - C(\mathbf{x}))^2 dC(\mathbf{x})$$

Test d'Anderson-Darling (AD)

Donne plus de poids aux queues de distribution.

$$A_n^2 = \frac{1}{n} \oint_{-\infty}^{\infty} \frac{(C_n(\mathbf{x}) - C(\mathbf{x}))^2}{C(\mathbf{x})(1 - C(\mathbf{x}))} dC(\mathbf{x}).$$

Test basé sur Kendall's Plot

Ces deux méthodes graphiques et quantitatives permettent d'évaluer la structure de dépendance entre deux variables et d'aider à choisir une copule appropriée.

Kendall's Plot Le K-Plot (ou Kendall's Plot) est un outil graphique qui compare la dépendance empirique avec la dépendance théorique sous l'hypothèse d'indépendance. Alors on calcule les W_i (statistiques de Kendall empiriques) :

$$W_i = \frac{1}{n-1} \sum_{j \neq i} \mathbf{1}_{(X_j \le X_i, Y_j \le Y_i)}$$

C'est la proportion de paires (X_j, Y_j) qui sont inférieures à (X_i, Y_i) , on suite on ordonne ces W_i par ordre croissant notée $W_{(i)}$, aprés on trace, en abscisse : $H_{(i)} = \frac{i}{n+1}$ (quantiles théoriques sous indépendance) et en ordonnée les $W_{(i)}$. Maintenant : Si les points suivent la diagonale alors on a une indépendance.

Si les points sont au-dessus alors la dépendance est positive (ex : Clayton, Gumbel). Si les points sont en-dessous alors la dépendance est négative (peu fréquent avec les copules classiques).

2.2.2 Critères de sélection

Ces critères comparent différentes copules et choisissent la meilleure en fonction d'une métrique.

Critère d'Information d'Akaike (AIC)

Pénalise la vraisemblance par le nombre de paramètres.

$$AIC = -2\ln(L) + 2k$$

où L est la vraisemblance et k le nombre de paramètres.

Critère d'Information Bayesien (BIC)

Pénalise plus fortement les modèles complexes.

$$BIC = -2\ln(L) + k\ln(n)$$

où n est le nombre d'observations.

Log-Vraisemblance

Plus la log-vraisemblance est élevée, meilleur est l'ajustement.

$$\ln(L) = \sum_{i=1}^{n} \ln c(F_1(X_{1i}), \dots, F_d(X_{di}))$$

où c est la densité de la copule.

2.2.3 Validation Graphique des Copules

La validation graphique est une étape essentielle pour vérifier visuellement si une copule sélectionnée modélise correctement la structure de dépendance des données. Elle complète les critères statistiques (AIC, BIC, tests d'ajustement) et permet de détecter des motifs que les méthodes numériques pourraient manquer.

QQ-Plot

Comparer les quantiles empiriques et théoriques de la copule pour vérifier l'adéquation du modèle, on calcule les pseudo-observations (rangs uniformes) :

$$\mathbf{x}_i = \frac{R_{\mathbf{x}_i}}{n+1}, \ i = 1, ..., d.$$

où $R_{\mathbf{x}_i}$ est le rang de \mathbf{x}_i dans l'échantillon, on simule des données sous la copule théorique (avec le même nombre d'observations) et on trace ensuite dans l'axe X: Les Quantiles empiriques et dans l'axe Y: les Quantiles théoriques. Si les points suivent la diagonale alors on a un bon ajustement sinon on remarque un écarts systématiques qui explique une mauvaise spécification de la copule.

Graphique de la Copule Empirique vs Théorique

Comparer directement la copule empirique (2.10) (estimée à partir des données) et la copule théorique candidate (fonction de la copule testée (Gaussienne, Clayton,... etc.). En suite en compare la surface 3D de la copule C_n vs. C, ou bien on compare les contours de densités. Si les surface sont recouvrées alors on a un bon ajustement s'il y a un écart remarquable alors la copule sélectioné ne capture pas la dépendance. La validation graphique constitue une étape indispensable pour apprécier visuellement la qualité d'ajustement d'une copule aux données. Des outils comme les QQ-plots, les comparaisons entre copules empiriques et théoriques, ainsi que le K-plots, offre des perspectives complémentaires sur la structure de dépendance, en révélant notamment des inadéquations dans les queues de distribution ou des biais systématiques. Ces méthodes, combinées aux critères statistiques (AIC, BIC, tests d'ajustement), permettent de sélectionner de manière robuste la copule la plus adaptée. En pratique, une analyse simultanée de plusieurs graphiques et une interprétation critique des écarts observés garantissent un modèle fiable pour la modélisation des dépendances multivariées.

Chapitre 3

Application des copules en finance et assurance

3.1 Application

Les relations entre le paramètre de la copule et le tau de Kendall nous ont permis de calculer la valeur de θ en supposant une copule de Gumbel ou de Clayton. Une fois muni de la valeur du paramètre, nous sommes en mesure de calculer toute probabilité conjointe entre les indices boursiers.

Par exemple, nous avons analysé 500 observations provenant de séries de rendements de quatre indices boursiers européens, calculées par $\log (X_{t+1}/X_t)$ pour la période de 1991 à novembre 1992 (voir Fig. 3.1). Ces données sont disponibles dans les packages "QRM and data sets" du logiciel R et contiennent les prix de clôture quotidiens des principaux indices boursiers européens : l'Allemagne **DAX** (Ibis), la Suisse **SMI**, la France **CAC** et le Royaume-Uni **FTSE**.

Les données sont échantillonnées en temps ouvré, c'est-à-dire que les week-ends et jours fériés sont omis. Le tableau 3.1 résume le tau de Kendall entre les rendements des quatre indices de marché.

Variable	DAX	SMI	CAC	FTSE
\overline{DAX}	1.000	0.4087	0.3695	0.2913
\overline{SMI}	0.4087	1.000	0.3547	0.4075
\overline{CAC}	0.3695	0.3547	1.000	0.3670
\overline{FTSE}	0.2913	0.4075	0.3670	1.000

Tab. 3.1 – Estimations de la matrice tau de Kendall à partir des rendements de quatre indices boursiers Européens.

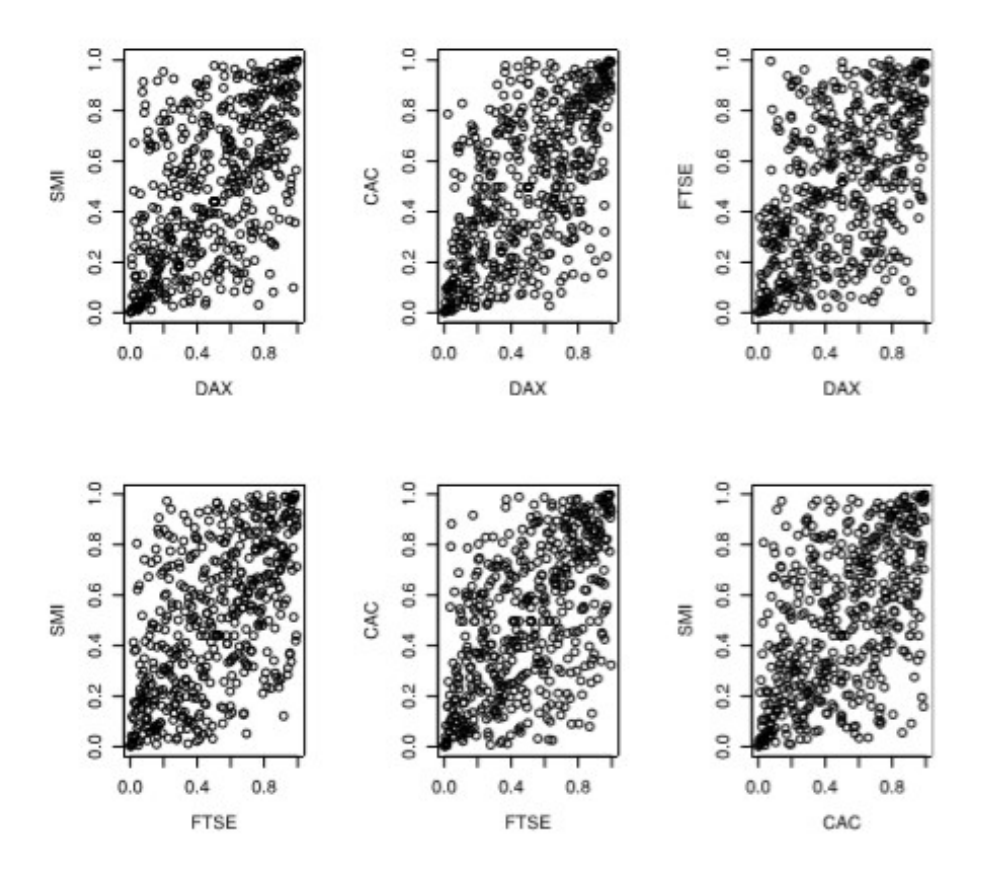


Fig. 3.1 – Nuages de points de 500 pseudo-observations tirées des rendements de quatre indices boursiers Européens

Ensuite, nous considérons les rendements des quatre indices de marché ajustés par la copule t, donnée par :

$$C_{\rho,v}(u,v) = t_{\rho,v}(t_v^{-1}(u), t_v^{-1}(v)),$$

où v est le paramètre de degré de liberté, t_v^{-1} est l'inverse de la fonction de distribution

de Student t univariée standard, et $t_{\rho,v}$ est la distribution de Student t standard bivariée paramétrée par le paramètre de corrélation ρ et v. La densité de la copule t bivariée est donnée par :

$$c_{\rho,v}(u,v) = \frac{v}{2\sqrt{1-\rho}} \frac{\Gamma(v/2)^2}{\Gamma((v+1)/2)^2} \frac{\left(1 + \frac{x^2 + y^2 - 2\rho xy}{v(1-\rho^2)}\right)^{-(v+2)/2}}{\left(\left(1 + \frac{x^2}{v}\right)\left(1 + \frac{y^2}{v}\right)\right)^{-(v+1)/2}},$$

où $x=t_{v}^{-1}\left(u\right) ,$ $y=t_{v}^{-1}\left(v\right)$ et Γ est la fonction Gamma.

En supposant que la copule t représente la structure de dépendance de nos quatre indices, nous obtenons les paramètres de dépendance ajustés des six fonctions de distribution jointes bivariées, présentés dans le tableau [3.3].

On a:

$$CCTE_{X_1}(t) = \frac{\int_{\alpha}^{1} J_t(u) F_{X_1}(u) du}{\int_{\alpha}^{1} J_t(u) du}.$$
 (3.1)

En utilisant les équations (3.1) avec la copule t, nous calculons pour un niveau fixe $\alpha = t = 0.9$ les mesures de risque CCTE pour tous les cas. Les résultats sont résumés dans le Tableau 3.4.

Dans le Tableau 3.4, la plus petite valeur indique le risque le plus faible. Ainsi, le couple (X,Y) le moins risqué est : (CAC, FTST), où X est le risque cible et Y est le risque associé.

Variable	SMI	FTSE	CAC	Copula
DAX	0.0019	0.0015	0.0005	Gumbel
	0.0004	0.0005	0.0004	Clayton
$DA\Lambda$	0.1543	0.2572	0.2662	Gaussian
	0.4381	0.2942	0.3302	t
SMI	_	0.0004	0.0004	Gumbel
	_	0.0004	0.0004	Clayton
$\mathcal{S}WII$	_	0.4071	0.2283	Gaussian
	_	0.3390	0.5220	t
FTSE	_	_	0.0394	Gumbel
	_	_	0.0004	Clayton
	_	_	0.3941	Gaussian
	_	_	0.5230	t

Tab. 3.2 – Valeur p du test bootstrap d'adéquation des copules de Gumbel, Clayton, gaussienne et t de dimension 2, avec 'method' = "Sn", 'estim.method' = "itau"

Variable	DAX	SMI	CAC	FTSE
\overline{DAX}	∞	0.5945	0.6344	0.5498
\overline{SMI}	0.5945	∞	0.5610	0.5781
\overline{CAC}	0.6344	0.5610	∞	0.5974
\overline{FTSE}	0.5498	0.5781	0.5974	∞

TAB. 3.3 – Pramétre ajusté de la copula t correspondant au tau de Kendall avec v=1

Variable	DAX	SMI	CAC	FTSE
\overline{DAX}	_	0.617	0.677	0.666
\overline{SMI}	0.617	_	0.842	0.624
\overline{CAC}	0.677	0.842	_	0.590
\overline{FTSE}	0.666	0.624	0.590	_

Tab. 3.4 – Mesure de risque du CCTE pour t=0.9 avec une copule t

Conclusion

ans ce mémoire, nous avons mené une étude approfondie des copules en tant qu'outil moderne et efficace pour la modélisation de la dépendance entre variables aléatoire, notamment dans les contextes financiers et assurantiels où une raprésentation précise des relations non linéaires est essentielle. Nous avons tout d'abord présenté les fondaments théoriques des copules et les différentes familles existantes, avant d'abord les méthodes d'éstimation ainsi que les critéres d'ajustement et de sélection du modéle adéquat. L'application pratique réalisée a permis de mettre en évidence l'importance de l'utilisation des copules dand l'analyse des données financières. Les résultats obtenus montrent que les copules offrent une modélisation plus réaliste de la dépendance que les méthodes classiques basées uniquement sur la corrélation linéaire.

En conclusion, cette étude ouvre la voie à de nombreuses perspectives de recherche, que ce soit à travers le développement de modèles de copules plus flexibles, ou par l'élargissement des application à d'autres domaines tels que la gestion des risques, la finance ou encore les secteurs de la santé et des sciences sociales.

Bibliographie

- [1] Anne-lise, C, Christophe, D, Véronique, L. M, & Triet, N. (2008). Copule de Gumbel.
- [2] Baadache, R. (2022). Estimation des paramétres de copule par la méthode maximum de vraisemblance. [Mémoire de Master, Université Mohammed Khider, Biskra].
- [3] Bailly, P, Carrére, C. (2015). Statistique des criptives: Théorie et applications.
- [4] Ben Hamza, H. (2022). Estimation des copules à un paramétre. [Mémoire de Master, Université Mohammed Khider, Biskra].
- [5] Bernard, P. M, Lapointe, C. (1995). Mesures statistique en épidémiologie, presse de l'Université du Québtouee, Sainte-Foy, page 89.
- [6] Brahimi, B, Benatia, F, & Djabrane, Y. (2018). Copula conditional tail expectation for multivariate financial risks. Arab journal of Mathematical Sciences.
- [7] Cadoux, D., & Loizeau, J. M. (2004). Copules et dépendances: Application pratique la détermination du besoin en fonds propres d'un assureur non vie. Bulletin Franais d'Actuariat, 6(12), 173-208.
- [8] Cherubini, U., Luciano, E., & Vecchiato, W. (2004). Copula methods in nance. John Wiley & Sons.
- [9] Chine, A. (2017). Sur la statistique de copules. [Mémoire de Doctorat, Université Mohammed Khider, Biskra]

- [10] Fontaine, C. (2016). Utilisation de copules paramétriques en présence de données observationnelles : cadre théorique et modélisations (Doctoral dissertation, Université Montpellier)
- [11] Hofert, M., Mchler, M., & McNeil, A. J. (2011). Likelihood inference for Archimedean copulas. arXiv preprint arXiv:1108.6032.
- [12] Hofert, M., Mchler, M., & McNeil, A. J. (2013). Archimedean copulas in high dimensions: Estimators and numerical challenges motivated by nancial applications. Journal de la Société Francise de Statistique, 154(1), 25-63.
- [13] Nelsen, R. B., 2006. An Introduction to copula. Springer Verlag, New York
- [14] Slimani. (2012). Estimation des parametres d'une copule. [Mémoire de Master, Université Mohammed Khider, Biskra].
- [15] Toupin, M-H. (2008). Nouveau test d'équation pour les copules basé sur le processus de spearman. [Mémoire du maîtrise, Université du Québec à Trois-Rivières].
- [16] Yela, J. P., & Cuevas, J. R. T. (2018). Estimating the Gumbel-Barnett copula parameter of dependence. Revista Colombiana de Estadstica, 41(1), 53-73.

Annexe A: Abréviations et

Notations

Les différentes abréviations et notations utilisées tout au long de ce mémoire sont expliquées ci-dessous :

v.a : variable aléatoire

fd: Fonction de distribution.

X, Y : Vas réelles

F,G: fds des lois marginales

 \mathbb{I} : Intervalle [0;1].

H : Distribution jointe

h : Densité de distribution jointe

C: Distribution de la copule

c : Densité de la copule

U, V: Vas qui suivent la loi uniforme U.

M: Copule minimum

W: Copule maximum.

: Copule produit

 F^{-1} : Fonction inverse.

 Φ : fd de la loi normale.

 F_n, G_n : fds empiriques.

Annexe A : Abréviations et Notations

 τ : Tau de Kendall.

 ρ : Rho de Spearmen

 φ : Fonction génératrice de la copule archimédienne

 φ^{-1} : Fonction quantile de φ

coefficient de corrélation de Pearson.

 C_{ϱ} : Copule normale.

 $C_{\varrho,v}$: Copule de Student.

 $L(\theta)$: Fonction log-vraisemblance de

 \mathbb{R} : Ensemble des nombres réels

الملخص

تهدف هذه المذكرة إلى دراسة واستخدام الكوبولات وتطبيقاتها في نمذجة التبعية بين المتغيرات العشوائية خصوصا في مجالي المالية والتامين. تمثل الكوبولات أداة قوية تسمح بفصل الهيكل التابع بين المتغيرات عن سلوكها الهامشي مما يمنح مرونة أكبر في النمذجة مقارنة بالطرق التقليدية. تبدأ الدراسة بتقديم الجانب النظري للكوبولات من خلال التعريف بها واستعراض خصائصها الأساسية مع التركيز على اهم العائلات مثل الاهليجية والارشميدية. ثم تتناول المذكرة طرق تقدير الكوبولات كطريقة الإمكان الاعظمي وطريقة العزوم إضافة الى معايير تقييم الجودة واختيار النموذج الأنسب. واخيرا يتم تقديم تطبيق عملي يوضح كيفية استخدام الكوبولات في تحليل بيانات مالية حقيقية مما يعكس أهمية وفعالية هذا المنهج في التمثيل الدقيق للعلاقات المعتمدة.

Résumé

e mémoire a pour objectif l'étude des copules et leurs applications dans la modélisation de la dépendance entre variables aléatoires, notamment dans les domaines de la finance et l'assurance. Les copules constituent un outil puissant permettant de séparer la structure de dépendance du comportement marginale des variables, offrant ainsi une flexibilité supérieure par rapport aux méthodes classiques. L'étude commence par une présentation théorique des copules, en introduisant leurs définitions, propriétés fondamentales, et principales familles telles que les copules elliptiques et archimédiennes. Ensuite, le mémoire aborde les méthodes d'estimation des copules, ainsi que critère d'ajustement et de sélection du meilleur modèle. Enfin, une exemple d'application pratique est proposée pour illustrer l'utilisation des copules dans l'analyse de données financières réelles, démontrant ainsi leurs pertinences et leur efficacité dans la modélisation précise des relations de dépendance.

Abstract

his dissertation amis to study copulas and their applications in modeling the dependence between random variables, particulary in the fields of **finance and insurance**. Copulas are powerful tools that allow the separation of the dependence structure of the marginal behavior of variables, offering greater flexibility compared to traditional methods. The study begins with a theoretical overview of copulas, introducing their definition, fundamental properties, and main families, such as elliptical and Archimedean copulas. It then explores estimation methods, as well as criteria for goodness-of-fit and model selection. Finally, a example practical application is presented to demonstrate how copulas can be used to analyze real financial data, highlighting their effectiveness in accurately modeling dependence relationships.